

I-15 斜格子桁の2・3の力学的性状

オホト建設コンサルタント 正員 成底 弘敏
琉球大学 正員 浜田 純夫
オリエンタルコンクリート 正員 金城 清

1. まえがき

格子桁に関する研究は、外国では F. Leonhardt, H. Homberg らにより、また我国では渡辺らにより多くの研究が行われてきる。また、最近のようにマトリックス法による構造解析が一般化してくれれば、解析上特に問題にならぬ点は少ない。しかし、必ずしも設計者の手元に電子計算機が準備されていりとは限らないので、力学的性状を示し、設計に役立つ計算式を見出すことにも有用なことと考えられよう。

現在まで、F. Leonhardt や H. Homberg らにより直角格子桁に対し計算式が提案され、これらを用いて設計が行われてきる。しかし、斜格子の計算には簡単な計算式が見出されていないのが実状である。

この研究では、厳密な計算式と並びかず、マトリックス法を用いて、斜格子の力学的性状を見出し、設計に役立てようと試みた。特に斜角を有する格子桁では反力分布と支間中央の曲げモーメントが重要なので、これらに注目した。

2. 計算理論

マトリックス法による格子桁の計算は多く行われてあり、理論には一般に用いられる式を用いた。図-1のように全体座標において部材角 α を有する部材の剛性行列 $[K]$ は次式で与えられる。

$$[K] = \frac{EI}{l^3} \begin{bmatrix} 12 & & & \\ 6\lambda l (4\lambda + R\mu)^2 & & & \\ 6\mu l (4 - \lambda) \lambda l & (4\lambda + R\mu)^2 & & \\ -12 & -6\lambda l & -6\mu l & 12 \\ & (2\lambda^2 - R\mu)^2 & (2 + R) \lambda \mu l & -6\lambda l (4\lambda + R\mu)^2 \\ 6\mu l (2 + R) \lambda \mu l & (2\mu^2 - R\lambda)^2 & -6\mu l (4 - R) \lambda \mu l & (4\mu^2 + R\lambda^2) l^2 \end{bmatrix} \text{ Sym. }$$

ここで、 $\lambda = \cos \alpha$, $\mu = \sin \alpha$, および $R = GJ/EI$ である。ここで St. Venant のねじりのみを考慮し R 。

3. 計算対象とし RC 断面寸法

斜格子桁の構造形式は鉄筋コンクリート T 形橋、アラートガーター橋、合成橋などがある。これらの主桁本数は偶数、スパン長、クリアランスなどにより異なるが、過去の研究例からこの計算では 5 本主桁とする。このため、特に多い、あるいは少ない主桁をもつ構造形式には適用できない。パラメーターの一つに主桁のヤイ (= GJ/EI) がある。アラートガーターのような断面では $\lambda = 0$ 、合成橋断面および RC-T 形断面では $0.1 \sim 0.25$ 程度と考えられる。このような斜橋ではスパンと幅員の比も $1.0 \sim 3.0$ 、斜角は 40° 以上として計算できよう。横桁の本数は 1 本の場合は 3 本とし、剛比を 30 として計算する。計算上の格子桁を図-2 に示す。

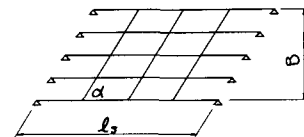


図-1 対象とした格子桁

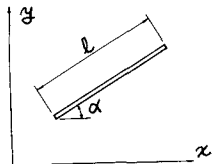


図-2 部材と一般座標

(1)

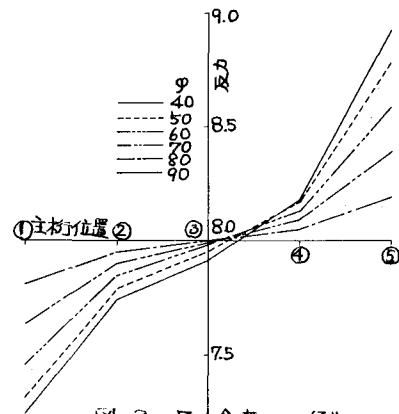


図-3 反力分布の一例

4. 計算結果

4.1 支点反力について

斜角を有する格子桁の反力分布はよく知られるように等分配荷重では鋸角側に大きい反力が生じ、鋸角側に小さい反力が生ずる。反力分布の一例を図-3に示す。また、この計算例では一般的断面を考え、 $\mu=0.15$ とする。H.Vogtは斜スラブ橋の設計の反力分布を直線で仮定している。ここでも同様に直線で仮定しよう。さらに鋸角部および鋸角部の反力の大きさは図-4のように鋸角 φ にほぼ比例的に増減していくことがわかる。図-4から $\varphi=65^\circ$ のときの反力 R の平均値を求め、 μ との関係を示すと、図-5のようになる。このようなことから、鋸角部の反力 R_θ は

$$R_\theta = R_{\theta 0} \{1 + 0.002\mu(90 - \varphi)\} \quad (2)$$

で与えられることがわかる。この提案式は $\mu \leq 3$, $\varphi \geq 40^\circ$ において誤差はわずかに2%以内となる。同様に鋸角部の反力 R_θ を求めると、

$$R_\theta = R_{\theta 0} \{1 - 0.00217\mu(90 - \varphi)\} \quad (3)$$

となる。この提案式も $\mu \leq 3.0$, $\varphi \geq 40^\circ$ において、わずか3.8%以下の誤差である。

4.2 换算スパンについて

斜角の大きい格子桁は一般の矩形の格子桁と異なり、曲げモーメントを求めるスパンは必ずしも桁長にならない。例えば、道路橋示方書によれば、換算スパン l は

$$\left. \begin{array}{ll} l = l_s & l_s/B \geq 1.5 \text{ のとき} \\ l = \frac{1}{2}(l_s + l_n) & l_s/B < 1.5 \text{ のとき} \end{array} \right\} \quad (4)$$

ここで、 l_s は斜め支間、 l_n は支承中心間隔、 B は幅全幅である。

式(4)によれば、 l_s/B により、 l は異なる。一方、ここで格子格子桁としての計算結果は $\bar{l} = 4J/EI = 0.15$ に対し、表-1に示されるように次式が良く合うことがわかる。

$$l = \frac{1}{2}(4l_s + l_n) \quad (5)$$

表-1からもわかるように、式(4)の結果はスパンの長さが短くなることがある、曲げモーメントを求める場合には危険側になることがわかる。式(5)の誤差はたしかに5%以内であるが安全側のスパンである。また計算結果によれば、換算スパン l は $\varphi=1\sim100^\circ$ ではあまり変りなく、 φ の値により、いくつ変ることが判明した。つまり、 $\varphi=0$ のときは $l=l_s$ に近く、特に大きい角、例えば 0.4 のときは式(5)で表される。

$$l = \frac{1}{2}(3l_s + l_n) \quad \varphi=0.4$$

5. 結論

斜格子桁の力学的性状の一部として、反力分布と換算スパンに注目した。これらは等分配荷重が作用した時の例であり、今後、集中荷重および集中荷重について検討し、種々計算機の力を借りることなく、斜格子桁の設計を可能ならしめるような手法を試みること。

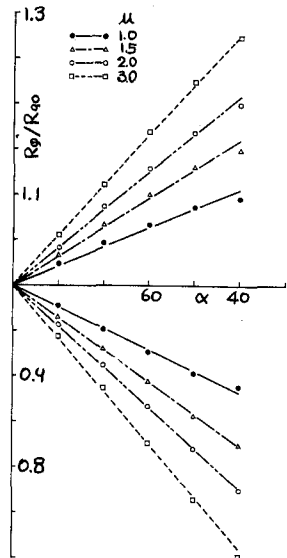


図-4 $R_\theta/R_{\theta 0}$ と α の関係

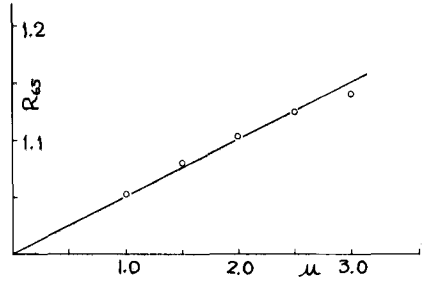


図-5 $R_{\theta 0}$ と μ の関係

表-1 换算スパン

φ	l_s/B	l_{exact}	式(4)	式(5)
80	1.0	.996	.993	.998
	1.5	1.494	1.491	1.495
	2.0	1.993	2.000	1.994
	3.0	2.990	3.000	2.991
60	1.0	.960	.932	.974
	1.5	1.443	1.400	1.460
	2.0	1.929	2.000	1.946
	3.0	2.906	3.000	2.920
40	1.0	.860	.821	.929
	1.5	1.299	1.232	1.393
	2.0	1.743	2.000	1.857
	3.0	2.656	3.000	2.786